

*Рассматривается численное решение прямым методом вариационной задачи о построении сверхзвукового сопла с равномерным потоком на выходе. Предложен способ выбора минимизируемого функционала. Проведено сравнение с результатом, полученным другим методом.*

## 1. Введение

Известно, что если возможна численная (программная) реализация некоторой задачи, то эта реализация может быть сделана неединственным способом. В этом смысле не являются исключением и прямые численные методы решения вариационных задач, когда решение получается в результате минимизации определенного функционала. При этом для класса вариационных задач, к числу которых относятся и газодинамические задачи, некоторые численные реализации могут приводить к тому, что область определения будет являться неодносвязным множеством.

В качестве характерного примера рассмотрим задачу, решаемую прямым методом, о численном построении сверхзвукового сопла с равномерным потоком на выходе. Отметим, что к этому близка задача о сопле максимальной тяги [1]. Пусть в некотором сопле, профиль которого определяется варьируемыми переменными, рассчитывается поле течения, а по найденному полю вычисляется функционал, характеризующий неравномерность потока на выходе из сопла и имеющий минимальное значение тогда, когда поток равномерный.

В основу численной реализации указанной задачи могут быть положены два основных подхода. Первый использует тот факт, что поток остается

сверхзвуковым и возможно использование простых в реализации и быстрых в расчете маршевых схем; второй подход допускает существование дозвуковых течений и, соответственно, требуется применение гораздо более сложных и более медленных численных методов. Пусть в основу первой численной реализации положен метод характеристик [2]. Тогда очевидно, что если в некоторых контурах не будет реализовываться полностью сверхзвуковое течение, то это приведет к аварийному останову (авосту). Следствием этого будет неодносвязность области определения, поскольку функционал, использующий параметры потока на выходе из сопла, вычислить нельзя. Второй подход, учитывающий появление дозвукового течения и использующий, например, метод установления и схему Годунова [3], лишен этого недостатка, однако интеллектуальные и временные затраты по сравнению с методом характеристик возрастают на порядок.

В работе [4] наряду с методом характеристик, позволяющим быстро получать решение, предложен функционал, который, в частности, использует значения параметров течения, найденные на каждой характеристике  $C^*$ . Это позволяет даже при наличии авостов продолжить функционал на односвязную область.

В данной статье, которая является развитием работы [4], предлагается вычислять функционал

более простым способом. Для оценки правильности полученных результатов использовалось решение, полученное по методике [2].

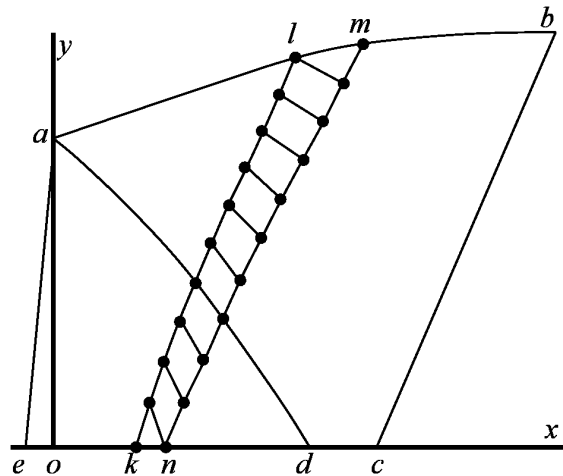
## 2. Постановка задачи

Дано установившееся незакрученное изоэнтропическое и изоэнергетическое течение идеального совершенного газа в осесимметричном сопле, рис. 1. Характеристические уравнения и условия совместности имеют вид:

$$\frac{dy}{dx} = \operatorname{tg}(\theta \pm \alpha),$$

$$d\theta \pm \frac{\cos^2(\alpha)}{(\gamma+1)/2 - \cos^2(\alpha)} d\alpha \pm \frac{\sin(\alpha)\sin(\theta)}{y\cos(\theta \pm \alpha)} dx = 0, \quad (1)$$

где  $\gamma$  – показатель адиабаты, далее  $\gamma=1,4$ ;  $x$  и  $y$  – продольная и поперечная координаты, отнесенные к радиусу сопла в минимальном сечении;  $\alpha=\arcsin(1/M)$  – угол Маха,  $M$  – число Маха;  $\theta$  – угол наклона вектора скорости (линии тока) к оси  $x$ ; знак  $+$ ( $-$ ) соответствует характеристике  $C^+$ ( $C^-$ ); полагается, что во входном сечении  $x_a=0$ . На стенке реализуется условие непротекания:  $\operatorname{tg}(\theta)=f'(x)$ , где  $f(x)$  – функция, описывающая контур сопла, а штрих обозначает производную по  $x$ . Во входном сечении  $x_a$  поток однородный:  $\theta_m=0$ ,  $M_{in}=1$ , где индекс «in» соответствует входу в сопло. Далее индекс «0» соответствует выходу из сопла.



**Рис. 1.** Схема сопла:  $oa$  – минимальное сечение;  $ab$  – сопло с угловой точкой;  $ad$  – характеристика  $C^-$ , принадлежащая пучку волн разрежения;  $ae$  – начальная характеристика;  $kl$  – характеристика  $C^+$ ;  $nm$  – характеристика  $C^+$ ;  $cb$  – конечная характеристика  $C^+$

При вычислении параметров течения в угловой точке «a» используется формула Прандтля-Майера, следующая из (1):

$$\theta_2 + \psi(\alpha_2) = \theta_1 + \psi(\alpha_1),$$

$$\psi(\alpha) = -\alpha + \sqrt{\frac{\gamma+1}{\gamma-1}} \arctg\left(\sqrt{\frac{\gamma+1}{\gamma-1}} \operatorname{tg}(\alpha)\right), \quad (2)$$

где нижние индексы 1 и 2 соответствуют параметрам до и после разворота в угловой точке;  $\theta_1=0$ ,  $\alpha_1=\alpha_m$ .

Необходимо найти контур сопла (рис. 1), на выходе из которого в сечении  $x=x_b$  поток должен иметь однородные поперек сопла параметры  $\theta=0$  и число Маха  $M_0>1$ . Считается, что давление на выходе из сопла больше давления окружающей среды.

## 3. Тестовая задача

При заданном показателе адиабаты рассмотрим однопараметрическое, зависящее от  $M_0$ , семейство сопел с угловой точкой и равномерной характеристикой на выходе. Известно [1], что эти сопла имеют максимальную тягу, являются кратчайшими и обеспечивают нулевые потери на рассеяние в выходном сечении. Поскольку на выходе поток будет однородный и параллельный, то указанные сопла будут удовлетворять поставленным выше условиям.

Использование методики [2] при заданных  $M_0>1$  и показателе адиабаты позволяет найти единственное сопло, принадлежащее указанному семейству и удовлетворяющее условиям задачи. Контур сопла, полученный таким образом, считается эталоном, и с ним будет проводиться сравнение прямого метода, а координаты начальной точки «a» и найденной конечной точки «b» будут являться исходными данными для прямого метода.

## 4. Прямой метод

Даны координаты точек «a», «b» и тангенс угла наклона сопла в точке «b»:

$$f(x_a) = y_a, \quad f(x_b) = y_b, \quad f'(x_b) = y'_b,$$

$$x_a = 0, \quad y_a = 1, \quad y'_b = 0. \quad (3)$$

Последнее равенство следует из условия  $\theta=0$  на выходе из сопла.

Для аппроксимации искомого контура в качестве базисных функций используются степенные полиномы:

$$f(x) = \sum_{i=1}^{N+3} c_i t^{i-1}, \quad t = (2x - x_b - x_a)/(x_b - x_a),$$

$$t \in [-1, 1], \quad x \in [x_a, x_b]. \quad (4)$$

Так как должны выполняться условия (3), то коэффициенты  $c_{N+1}$ ,  $c_{N+2}$ ,  $c_{N+3}$  и профиль сопла  $f(x)$  выражаются через  $N$  линейно независимых коэффициентов  $c_1, \dots, c_N$ . Требуется найти профиль сопла, удовлетворяющий геометрическим условиям (3) и постановке задачи.

**Прямой расчет.** В рамках прямого метода принято называть прямым расчетом единичный расчет поля течения, который заканчивается вычислением функционала. Выбор функционала будет обсуждаться ниже. В прямом расчете система уравнений (1) решается по схеме, рис. 2, где цифрами «1» и «2» обозначены точки с известными параметрами, из которых выходят характеристики  $C^+$  и  $C^-$ . Цифрой «3» обозначена точка их пересечения. Записывая уравнения (1) в разностном виде, получим систему уравнений относительно неизвестных параметров  $\alpha_3^j$ ,  $\theta_3^j$ ,  $x_3^j$ ,  $y_3^j$  в точке «3»:

$$\begin{cases} \frac{y_3^j - y_2}{x_3^j - x_2} = \operatorname{tg}(\theta_{23} - \alpha_{23}), \\ \frac{y_3^j - y_1}{x_3^j - x_1} = \operatorname{tg}(\theta_{13} + \alpha_{13}), \\ \theta_3^j - \theta_1 + \frac{\cos^2 \alpha_{13}}{(\gamma + 1)/2 - \cos^2 \alpha_{13}} (\alpha_3^j - \alpha_1) + \\ + \frac{\sin \alpha_{13} \sin \theta_{13}}{y_{13} \cos(\theta_{13} + \alpha_{13})} (x_3^j - x_1) = 0, \\ \theta_3^j - \theta_2 - \frac{\cos^2 \alpha_{23}}{(\gamma + 1)/2 - \cos^2 \alpha_{23}} (\alpha_3^j - \alpha_2) - \\ - \frac{\sin \alpha_{23} \sin \theta_{23}}{y_{23} \cos(\theta_{23} - \alpha_{23})} (x_3^j - x_2) = 0, \end{cases}$$

здесь  $j=1,2,\dots$  – номер итерации. Обозначим  $p=\alpha, \theta, x, y$ , тогда  $p_{13}=(p_1+p_3^{j-1})/2$ ,  $p_{23}=(p_2+p_3^{j-1})/2$ . Полученная система решалась итерационно до выполнения условия  $\max|p_3^j - p_3^{j-1}| < 10^{-8}$ . На начальной итерации полагалось  $p_3^0=(p_1+p_2)/2$ . Так как на оси  $\theta=0$ ,  $y=0$ , а на стенке  $\theta=\arctg(f'(x))$  и  $y=f(x)$ , то в данной системе уравнений производились очевидные упрощения.

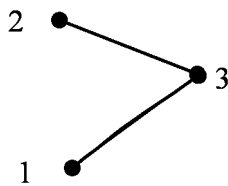


Рис. 2. Схема расчета: 13 – отрезок характеристики  $C_1^+$ ; 23 – отрезок характеристики  $C_2$

Таким образом, от оси к стенке, по известной характеристике  $C_i^+$  рассчитывается следующая характеристика  $C_{i+1}^+$ , где индексы  $i$  и  $i+1$  – порядковые номера вычисляемых характеристик. Расчет производится до тех пор, пока очередная характеристика  $C_i^+$  не приходит в точку «б». В качестве начальных условий используются  $\theta_m=0$  и  $M_m=1,001$  на начальной характеристике  $ae$ . Такие начальные условия достаточно часто применяют вместо плоской звуковой линии [5]. Отметим, что для вычисления интегралов использовалась формула трапеции.

**Выбор функционала.** В [4] использовался функционал, который рассчитывался вдоль характеристики (рис. 1):

$$J = \sqrt{\int_c^b \theta^2 dl}. \quad (5)$$

Если при вычислении характеристики  $C_{i+1}^+$  происходил авост, то формула (5) заменялась выражением:

$$J = (x_b - x_i) + \sqrt{\int_k^l \theta^2 dl} + \int_a^b \varphi(x) dx, \quad \varphi(x) = \begin{cases} |f(x)|, & f'(x) < 0 \\ 0, & f'(x) \geq 0 \end{cases}, \quad (6)$$

где первый интеграл вычислялся вдоль последней рассчитанной характеристики  $C_i^+$ , а второй – суммировал площадь участков контура сопла с отрицательными углами наклона. Если авост произошел при расчете характеристики  $C_1^+$ , то  $x_i=0$  и  $\theta=0$  вдоль начальной характеристики  $C_2^+$ . В результате функционал (6) приобретает вид:

$$J = x_b + \int_a^b \varphi(x) dx. \quad (7)$$

Как видно, способ вычисления функционала (5–7), предложенный в [4], достаточно сложен. И, кроме этого, замена формулы (5) на формулу (6) приводит к тому, что функционал, сохраняя непрерывность, в общем случае может стать недифференцируемым.

В данной работе предлагается другой подход. Рассмотрим два функционала

$$J_1 = \sqrt{\frac{1}{L} \int_{C_i^+} \theta^2 dl}, \quad J_2 = \sqrt{\frac{1}{L} \int_{C_i^+} ((\alpha - \alpha_0)/\alpha_m)^2 dl}, \quad L = \int_{C_i^+} dl, \quad (8)$$

которые вычисляются вдоль произвольной характеристики  $C_i^+$ . Выбор функционалов (8) обусловлен следующими соображениями.

Пусть сопло с известным  $M_0$  удовлетворяет условиям задачи. Тогда, как видно на рис. 3, первый функционал из (8) имеет два минимума  $J_1=0$ . Первому минимуму на характеристике  $ae$  соответствует  $\theta=0$  и  $\alpha_m=\arcsin(1/M_m)$ . Второму минимуму на характеристике  $cb$  соответствует  $\theta=0$  и  $\alpha_0=\arcsin(1/M_0)$ . Как следует из уравнений (1), только второй минимум является необходимым и достаточным условием решения задачи. Очевидно, что использование первого функционала не гарантирует единственности решения.

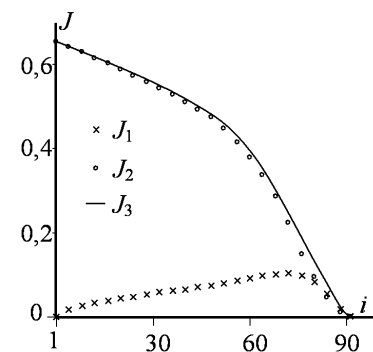


Рис. 3. Значение функционалов вдоль характеристик  $C_i^+$ ,  $i$  – номер характеристики

Второй функционал из (8), в отличие от первого, имеет единственный минимум  $J_2=0$  на характеристике  $cb$  (рис. 3), чему соответствует  $\alpha=\alpha_0$ . Однако этот минимум является необходимым, но не достаточным условием решения задачи, поскольку может не выполняться условие  $\theta=0$ . Комбинация  $J_1$  и  $J_2$  дает следующий функционал:

$$J_3 = \sqrt{\frac{1}{L} \int_{c_i^*} [((\alpha - \alpha_0)/\alpha_{in})^2 + \theta^2] dl}. \quad (9)$$

который имеет единственный минимум  $J_3=0$  на характеристике  $cb$  (рис. 3). Так как этот минимум является необходимым и достаточным условием решения задачи и ему соответствует  $\theta=0$  и  $\alpha=\alpha_0$ , то далее будет использоваться функционал (9).

При вычислении функционала (9) воспользуемся приемом, предложенным в [4], и если при вычислении характеристики  $C_{i+1}^*$  происходит авост, то функционал (9) вычисляется вдоль уже рассчитанной характеристики  $C_i^*$ .

Если сопло имеет отрицательный наклон сопла  $f'(x_a) < 0$  в точке «а», то авост происходит при вычислении характеристики  $C_2^*$ , и функционал (9) вычисляется на начальной характеристике  $ae$ . Поскольку при вычислении параметров течения в угловой точке «а» используется формула Прандтля-Майера (2), то можно использовать эту формулу и для вычисления  $\alpha_2$  при  $\theta_2 < 0$ . В этом случае найденные значения  $\alpha_2$  не имеют физического смысла, т.к. этому соответствует дозвуковое течение. Однако в силу своей непрерывности (рис. 4) функция  $\alpha_2(\theta_2)$  позволяет продолжить функционал (9) на односвязную область в случае отрицательного наклона сопла  $f'(x_a) < 0$  и обеспечить функционалу непрерывность и дифференцируемость. Как показали расчеты, при вычислении по формуле трапеции функционала на начальной характеристике  $ae$  достаточно брать только две точки – «а» и «е».

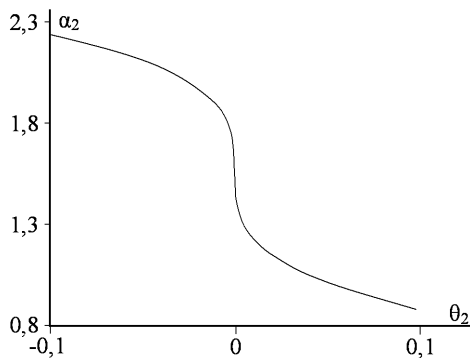


Рис. 4. Зависимость  $\alpha_2 = \alpha_2(\theta_2)$

Поскольку на входе в сопло граничные условия не меняются, а параметры течения определяются только профилем сопла (4), то значение функционала (9) будет неявно зависеть от этого профиля. Таким образом, задача нахождения профиля сопла  $f(x)$ , доставляющего экстремум функционалу (9), сводится к поиску точки  $(c_1, \dots, c_N)$ , в которой функция многих переменных  $J_3 = J_3(c_1, \dots, c_N)$  имеет экстремум. Для нахождения минимума этой функции использовался квазиньютоновский метод Бройдена из [6].

## 5. Численные результаты

Число  $N$  варьируемых переменных  $c_i$  менялось от 1 до 10, начальное значение  $c_i=0$ . На характери-

стике  $ae$  задавалось 50 точек. Координаты точек «а» и «б»: (0; 1) и (3,576; 1,299). Этим значениям соответствует найденное из [2] эталонное сопло с угловой точкой и числом Маха на выходе  $M_0=2$ .

Сравнение решения для обоих функционалов с эталонным соплом показало, что при  $N=10$  ординаты сопел отличались в четвертом знаке после запятой, а максимальная относительная погрешность по составила 0,02 %.

На рис. 5 представлены результаты минимизации в виде окончательных значений функционалов для различного числа  $N$ . Таблица демонстрирует влияние числа коэффициентов и используемого функционала как на число прямых расчетов, так и на количество авостов. Из представленных результатов видно, что предложенный функционал (9), несмотря на простоту, по эффективности не уступает функционалу (5–7), предложенному в [4].

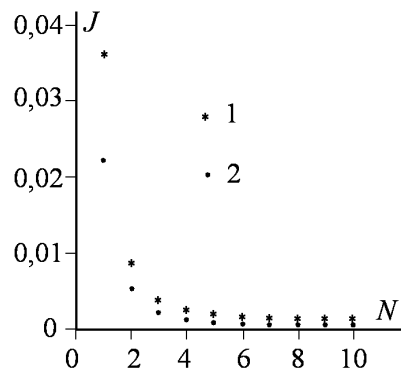


Рис. 5. Минимизация функционалов: 1) формулы (5–7) из [4], 2) предлагаемая формула (9)

Таблица. Минимизация функционалов. В числителе – число прямых расчетов, в знаменателе – авостов

№	Формулы (5–7) [4]	Предлагаемая формула (9)
1	13/2	17/2
2	36/3	39/4
3	63/4	69/5
4	98/4	99/5
5	135/5	115/7
6	150/7	166/7
7	199/7	203/6
8	273/6	304/7
9	385/8	320/8
10	444/7	492/9

## Заключение

Проведенные численные исследования показывают, что предложенный функционал достаточно прост в реализации, при наличии авостов имеет продолжение на односвязную область и сохраняет дифференцируемость, а по эффективности не уступает ранее рассмотренному в работе [4] функционалу. Сравнение профиля найденного сопла с эталонным профилем показало, что при 10 варьируемых переменных максимальная относительная погрешность по ординате составляет 0,02 %.

#### СПИСОК ЛИТЕРАТУРЫ

1. Крайко А.Н. Вариационные задачи газовой динамики. – М.: Наука, 1979. – 448 с.
2. Кацкова О.Н. Расчет равновесных течений газа в сверхзвуковых соплах. – М.: ВЦ АН СССР, 1964. – 61 с.
3. Годунов С.К., Забродин А.В., Иванов М.Я. и др. Численное решение многомерных задач газовой динамики. – М.: Наука, 1976. – 400 с.
4. Галкин В.М., Волков Ю.С. Сравнение базисных функций в прямой задаче профилирования сверхзвуковой части сопла // Сибирский журнал индустриальной математики. – 2004. – Т. 7. – № 4(20). – С. 48–58.
5. Крайко А.Н., Тилляева Н.И. Оптимальное профилирование контура сверхзвуковой части тарельчатого сопла // Механика жидкости и газа. – 2000. – № 6. – С. 172–184.
6. Дэннис Дж. мл., Шнабель Р. Численные методы безусловной оптимизации и решения нелинейных уравнений. – М.: Мир, 1988. – 440 с.